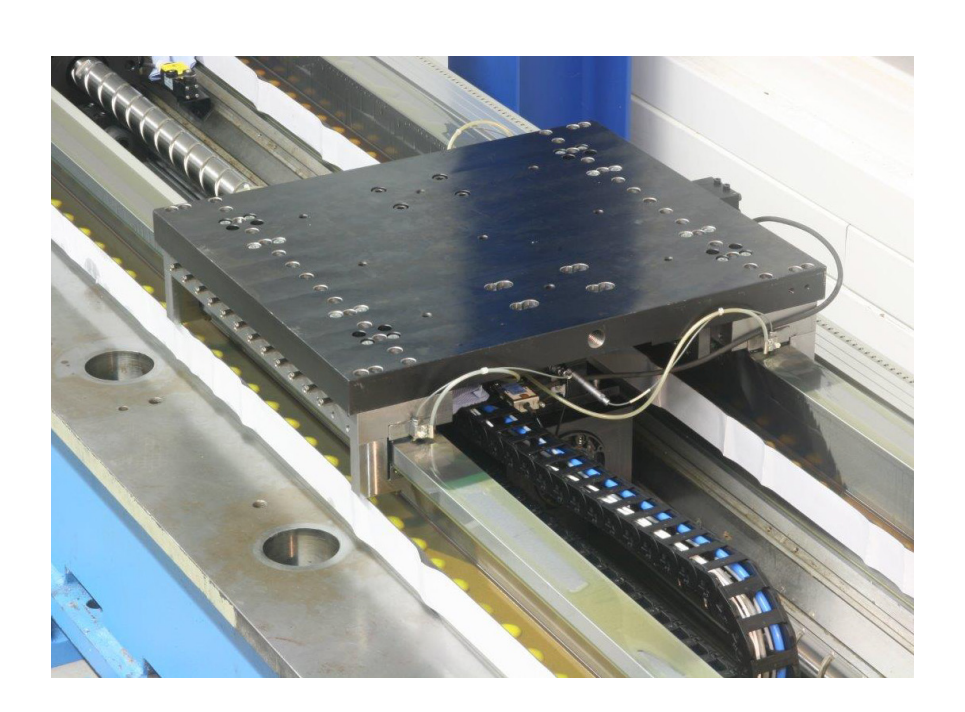


# Fakultät für Maschinenbau Institut für Werkzeugmaschinen und Produktionsprozesse Professur Werkzeugmaschinen und Umformtechnik

Prof. Dr.-Ing. habil. Prof. E. h. Dr.-Ing. E. h. mult. Dr. h. c. mult. Reimund Neugebauer Prof. Dr.-Ing. Matthias Putz

# Untersuchung der Flüssigkeitsreibung der hydrodynamischen Linearführung bei hohen Geschwindigkeiten bis 100m/min



#### M.Sc. Yingying Zhang

Institut für Werkzeugmaschinen und Produktionsprozesse
TU Chemnitz

yingying.zhang@mb.tu-chemnitz.de +49 (0)371 531-31026











- Motivation
- > Aufbau des dynamischen Modells
- > Anpassung des Modells
- > Vergleich zwischen Experiment und Simulation
- > Ausblick

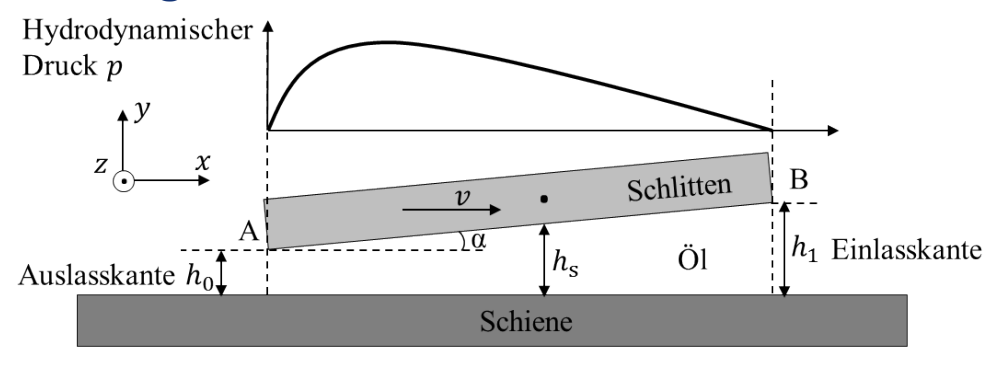








#### Grundlage der Technik



$$\frac{\partial}{\partial x} \left[ \frac{y^3(x,z)}{\eta} \frac{\partial p}{\partial x} \right] + \frac{\partial}{\partial z} \left[ \frac{y^3(x,z)}{\eta} \frac{\partial p}{\partial z} \right] = 6v \frac{\partial y(x,z)}{\partial x} + 12 \frac{\partial y(x,z)}{\partial t}$$

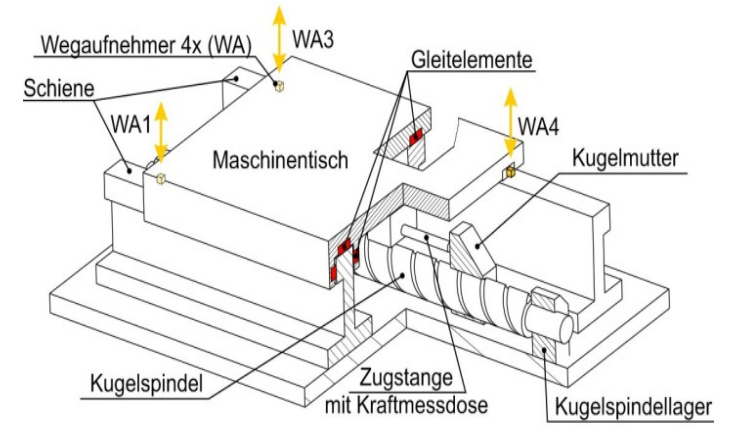
#### Hydrodynamischer Druck p

- Aufschwimmhöhe  $h_s$
- Aufschwimmwinkel α
- lacktriangle Geschwindigkeit v
- Schmieröl
- Kontaktoberfläche

# > Ziele des Projektes

- Reduzierung der Flüssigkeitsreibung
- Reduzierung der Kippung
- Optimierung der Gestaltung der Führungsfläche

#### Messsystem des Versuchstandes



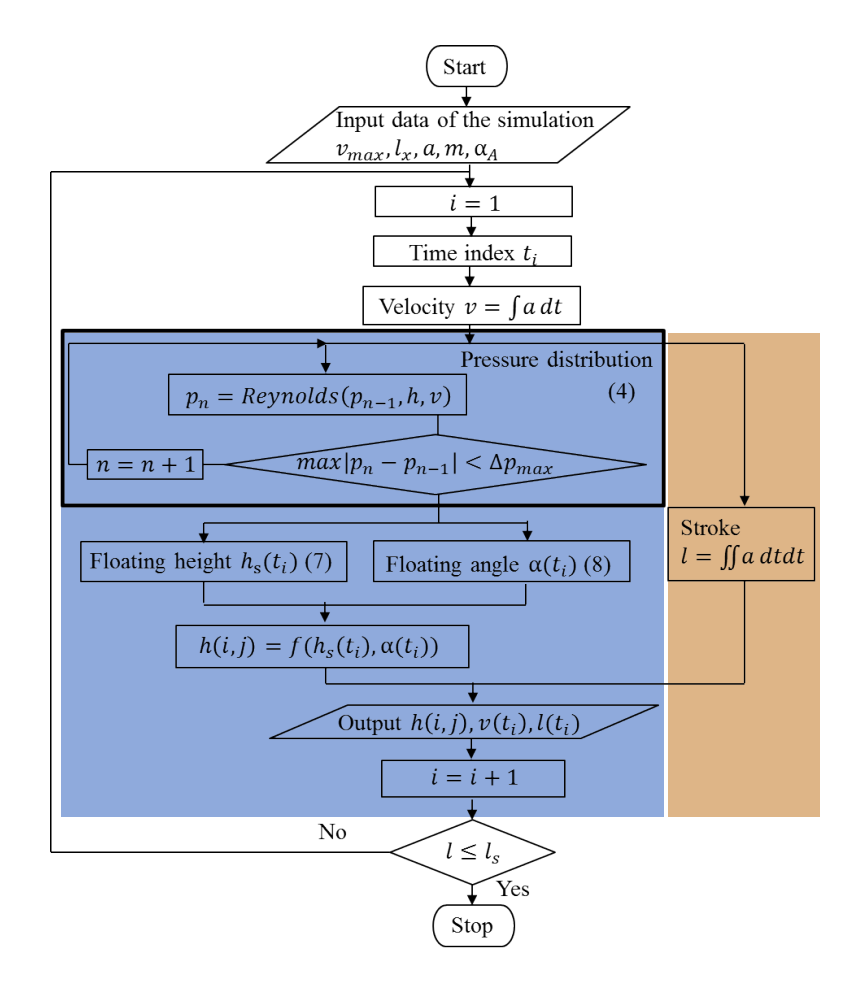




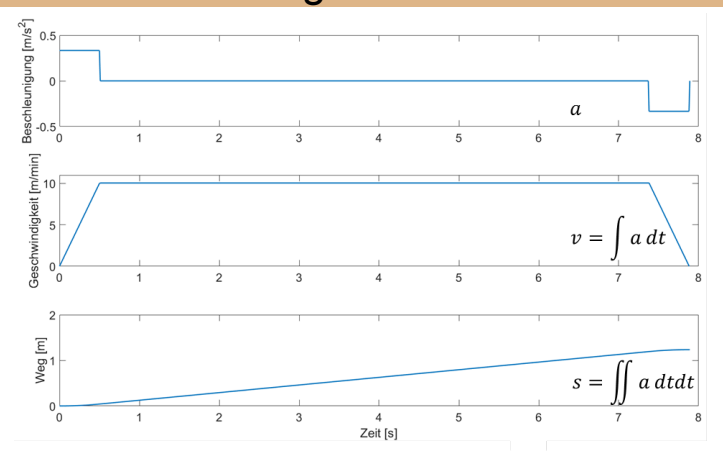


#### Aufbauprinzip des dynamischen Modells (Zeitdiskretes Modell)

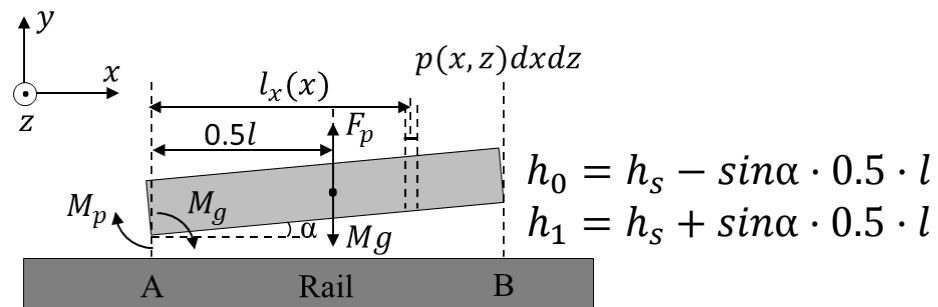
#### > Flussdiagramm



# Verlauf der Beschleunigung, Geschwindigkeit und des Hubs des Wegs



# Newtonsches Gesetz: Aufschwimmhöhe $h_s$ Drehimpulssatz: Aufschwimmwinkel $\alpha$

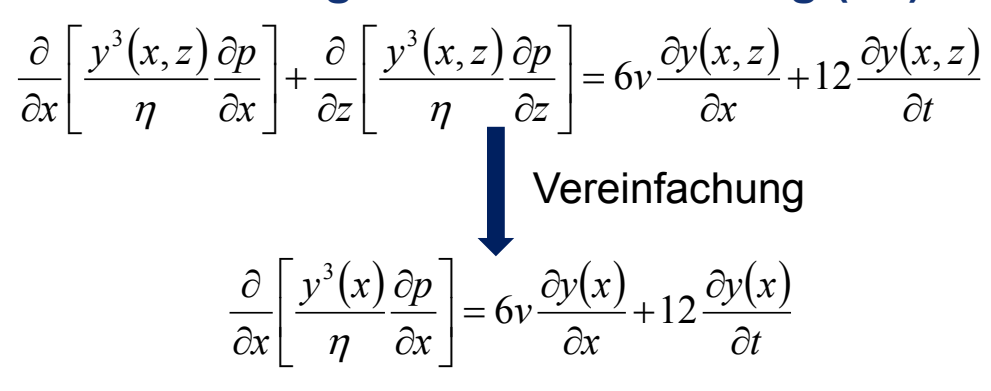


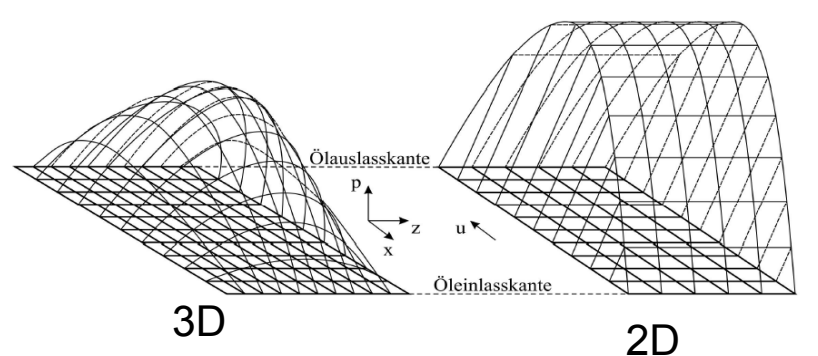


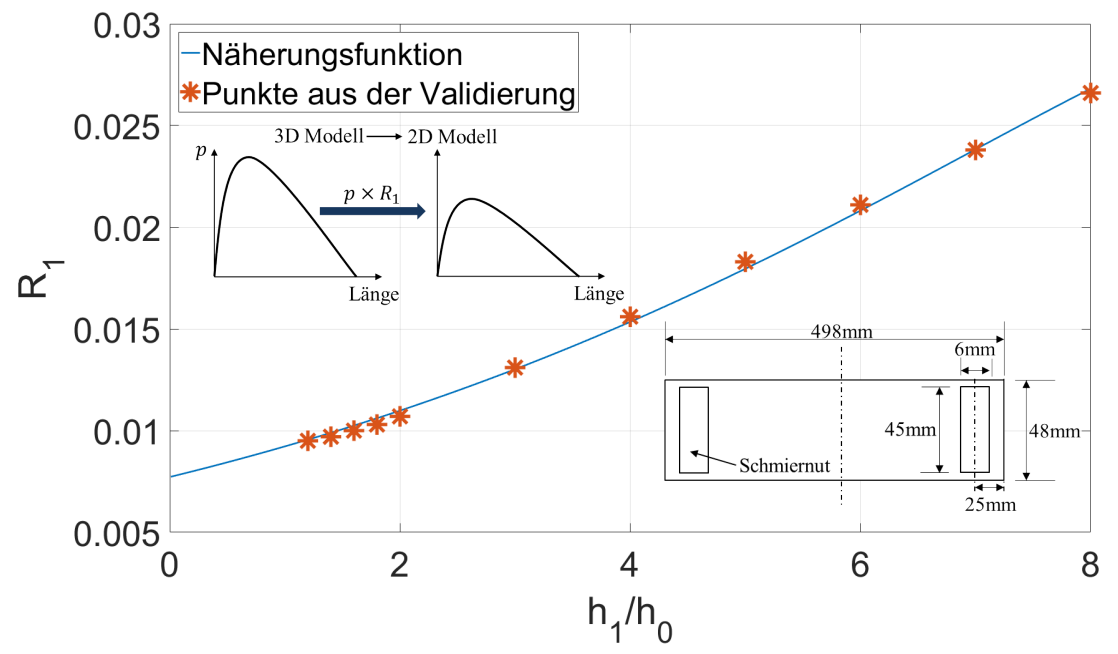




#### Berechnung der Druckverteilung (R1)







$$R_1\left(\frac{h_1}{h_0}\right) = A * e^{B*\frac{h_1}{h_0}} + C * e^{D*\frac{h_1}{h_0}}$$

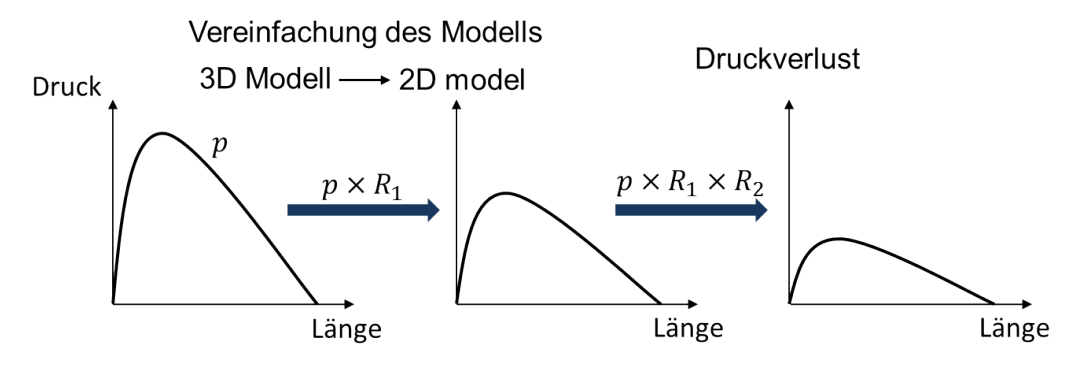
- Geometrie der Kontaktoberfläche
- Keilverhältnis



#### Berechnung der Druckverteilung (R2)

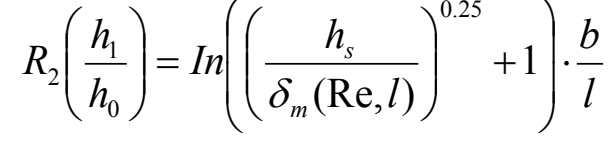
Randbedingungen der Reynolds'schen Differentialgleichung

- Haftbedingung
- Glatte Oberfläche
- Newtonsche Flüssigkeit
- Laminare Strömung



#### Idee basiert auf

- Druckverlust im Rohrsystem
- Grenzschichttheorie
- Hydrodynamisches Gleitlager



#### Abhängig von

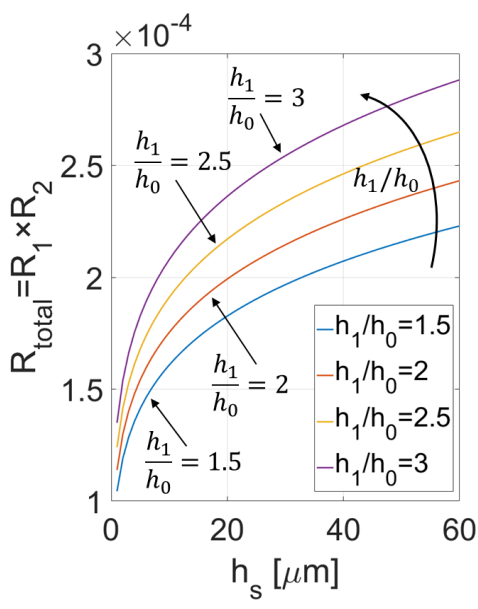
- Grenzschichtdicke
- Reynolds-Zahl
- Geometrie der Kontaktoberfläche







#### Reduktionsfaktoren bei 10m/min (R1× R2)

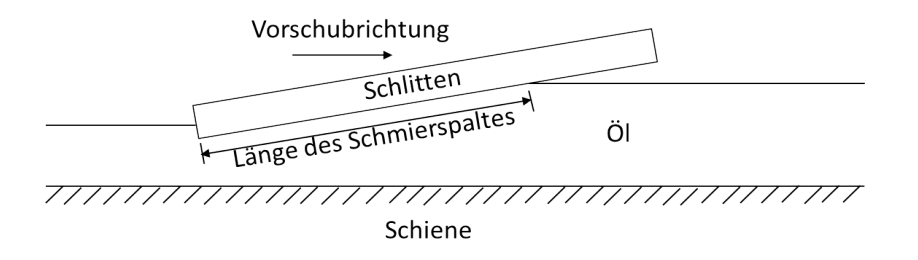


Wert der Reduktionsfaktoren verändert sich mit

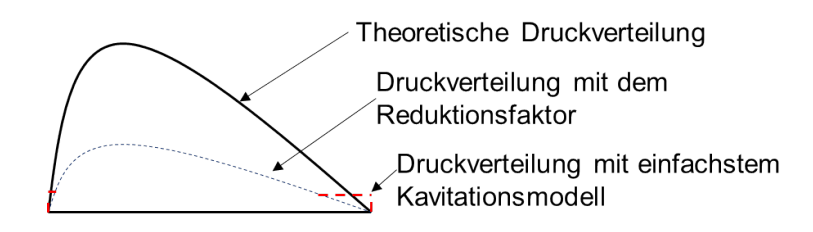
- Aufschwimmhöhe
- Aufschwimmwinkel
- Geschwindigkeit

#### Andere Ansätze

Zwischenschicht



#### Kavitation

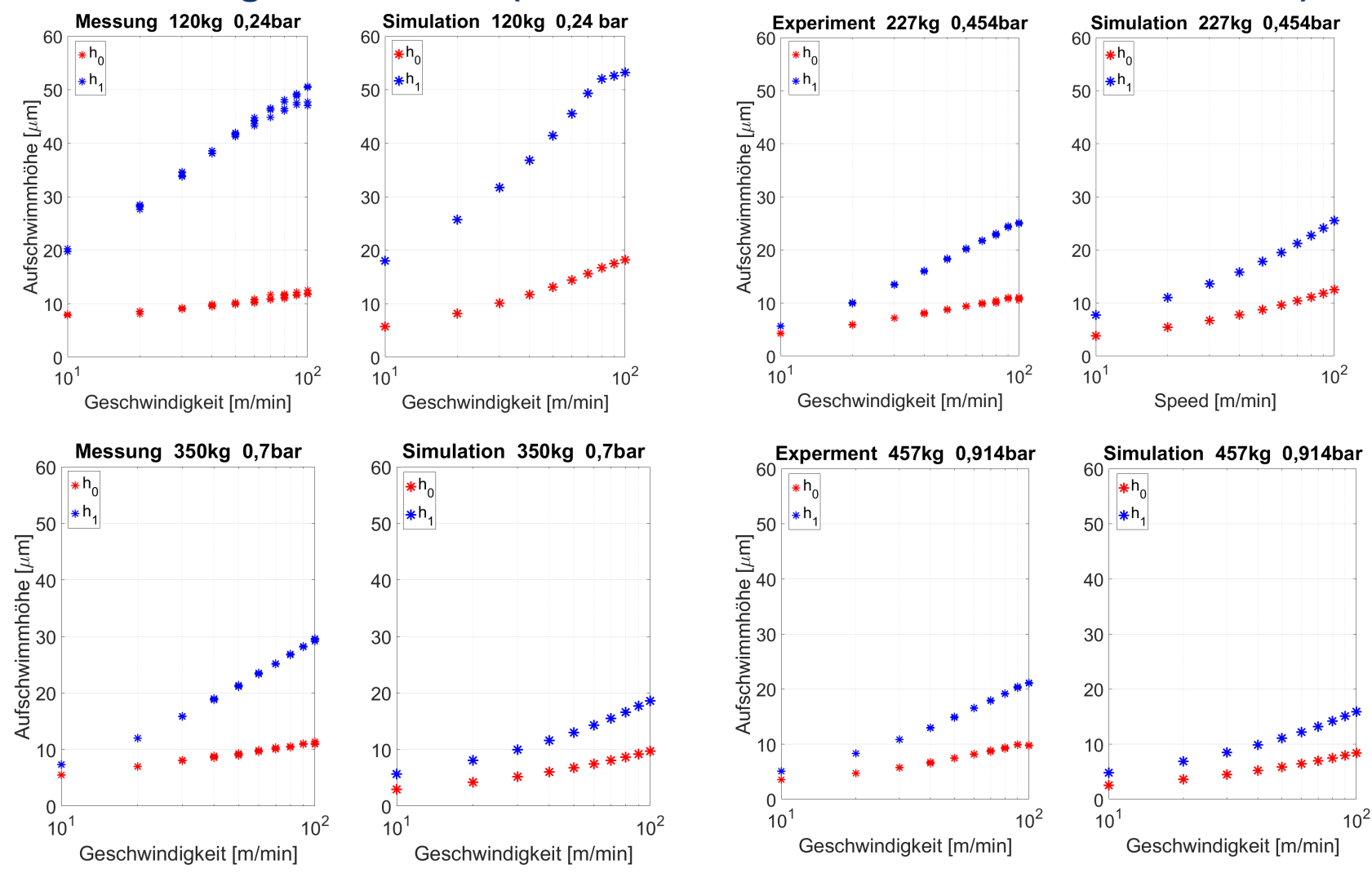








#### Validierung des Modells (Durchschnittliches Aufschwimmverhalten)



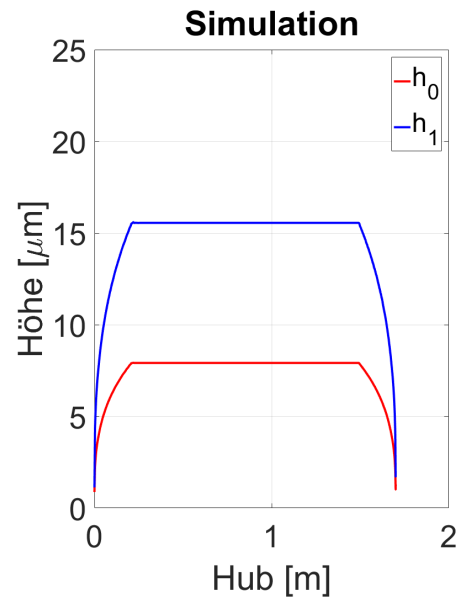


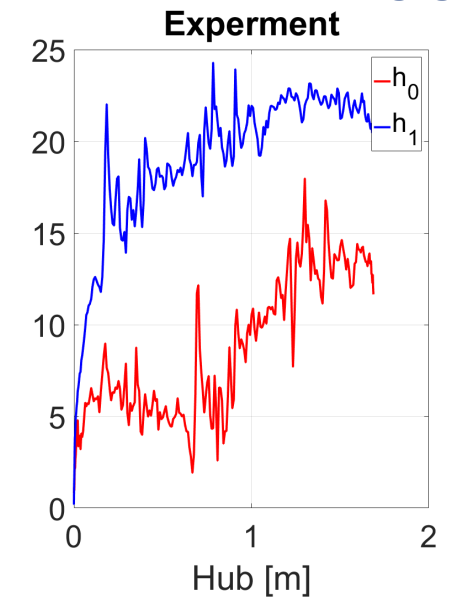






> Aufschwimmverhalten in der Abhängigkeit von dem Hub (50m/min, 0.24bar)





Begrenzungen des Modells:

- Erreichen des stabilen Zustandes bei der konstanten Geschwindigkeit
- Beschreiben nur des durchschnittlichen Aufschwimmverhaltens

#### Verbesserung des Modells

Schmierverfahren

Pumpen des Öls durch die Schmiernuten



Durchführung der Doppelhübe



Anfangen der Messung



Aufbau einer Ölschicht auf der Schiene







# Massenerhaltungsansatz

Beschränktes einfließende Volumen des Öls im bestimmten Zeitraum



 $V_{S}$ 

$$V_{ein} = \int vbh_{\ddot{0}l}dt$$

Ölhöhe auf der Schiene in der Abhängigkeit von

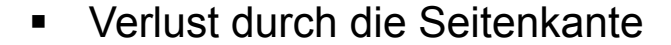
- Geschwindigkeit des Hubs
- Gewicht des Schlittens
- Viskosität des Öls

# Verteilung des Öls

 $V_h$ 

 $V_{sp}$ 

 $V_{ein}$ 



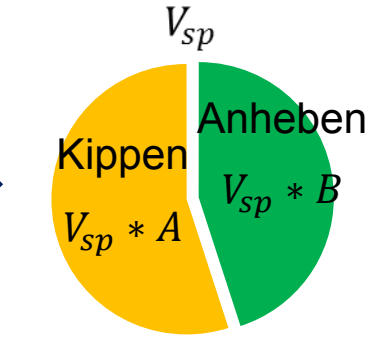
$$V_{s} = V_{ein} \cdot \frac{h_1 - h_0}{h_1}$$

Verlust durch die hintere Kante

$$V_h = \int \mathrm{vbh_0} \mathrm{dt}$$

Gespeichertes Volumen

$$V_{sp} = V_{ein} - V_h - V_s$$



Durchflussbeiwerte

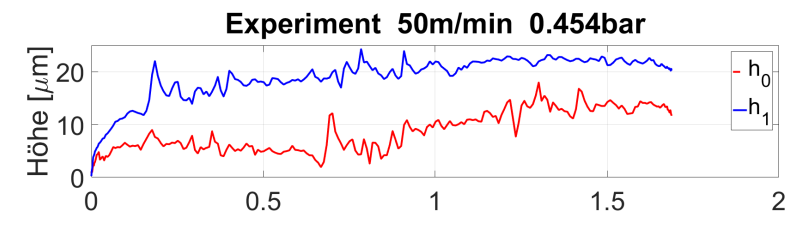


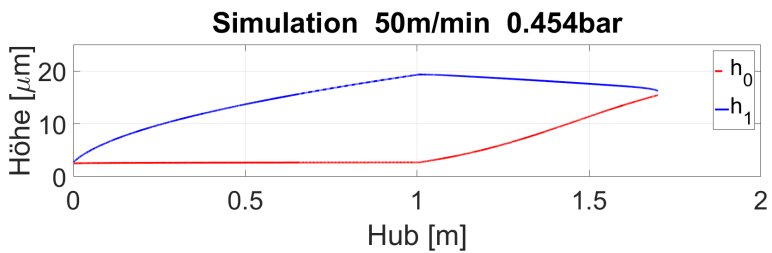




# Vergleich zwischen Experiment und Simulation

#### Instabiles Aufschwimmverhalten

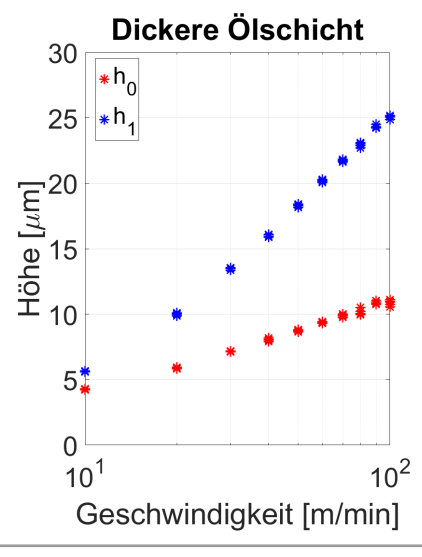


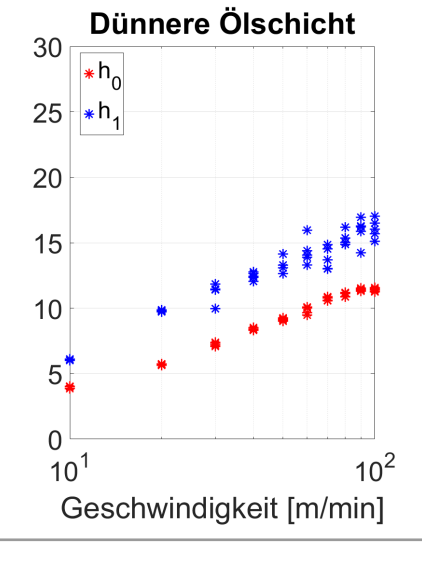


#### Gleichgewichtsbedingungen

- Kraft
- Moment
- Volumen der Flüssigkeit

# Wiederholungsgenauigkeit (0.454bar)





#### Dünnere Zwischenschichthöhe

- Niedrigere Wiederholungsgenauigkeit
- Kleinere Aufschwimmhöhe
- Schwächere Kippung





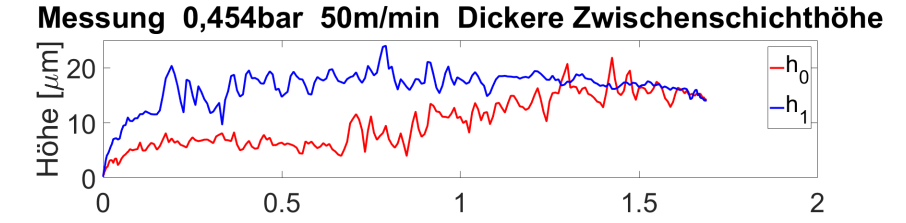


# Vergleich zwischen Experiment und Simulation

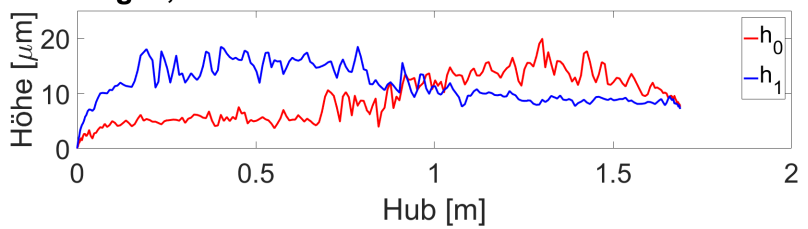
#### Auswirkung der Zwischenschichthöhe

Experiment

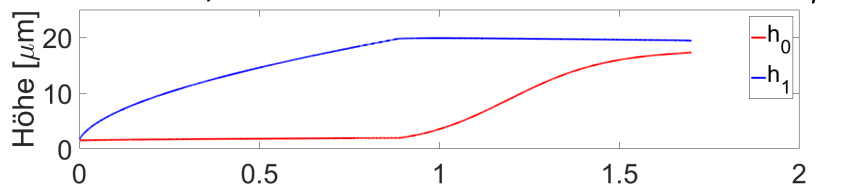
Simulation



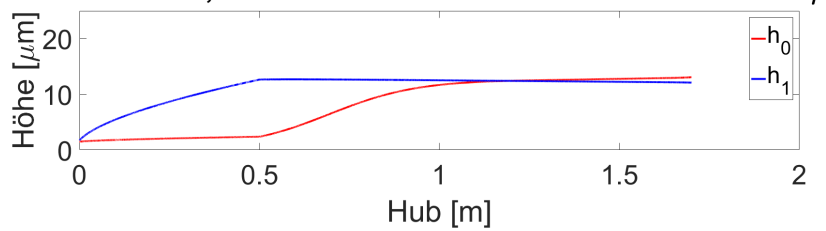








#### Simulation 0,454bar 50m/min Zwischenschichthöhe 25 $\mu$ m







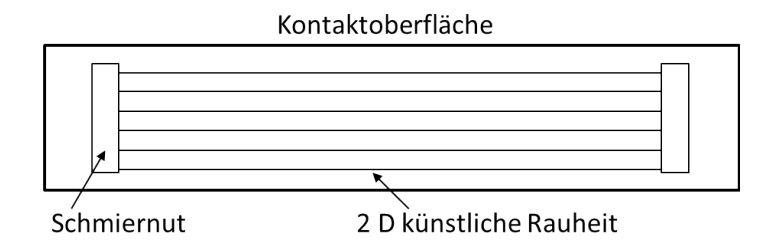


#### > Untersuchung der Rauheit der Kontaktoberfläche

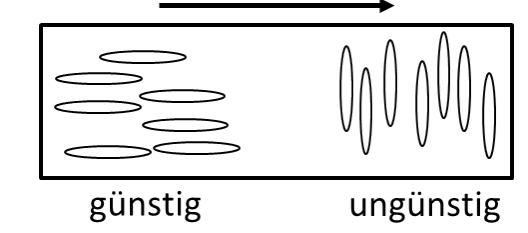
Auswirkungen der Rauheit bei der Flüssigkeitsreibung und Verbesserung der Berechnungsformel

Richtung der Strömung

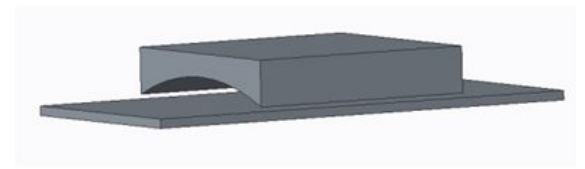
- Druckverlust im Schmierspalt
- Durchflussbeiwert
- Flüssigkeitsreibung
  - Variable A



- Reduzierung der Flüssigkeitsreibung
- Reduzierung der Kippung



Variable B



konkaver Schmierkeil





# Fakultät für Maschinenbau Institut für Werkzeugmaschinen und Produktionsprozesse Professur Werkzeugmaschinen und Umformtechnik

Prof. Dr.-Ing. habil. Prof. E. h. Dr.-Ing. E. h. mult. Dr. h. c. mult. Reimund Neugebauer Prof. Dr.-Ing. Matthias Putz

#### Vielen Dank für Ihre Aufmerksamkeit!

#### M.Sc. Yingying Zhang

Institut für Werkzeugmaschinen und Produktionsprozesse TU Chemnitz

yingying.zhang@mb.tu-chemnitz.de +49 (0)371 531-31026





